



Communication quantique: jongler avec des paires de photons dans des fibres optiques

Nicolas Gisin

GAP-Optique, University of Geneva

H. De Riedmatten, J.-D. Gautier, O. Guinnard, I. Marcikic, G. Ribordy,
V. Scarani, A. Stefanov, D. Stücker, S. Tanzilli, R. Thew, W. Tittel, H. Zbinden

📖 Thème: dialogue entre

Physique de base et Physique appliquée

📖 Sources de paires de photons compatibles télécom

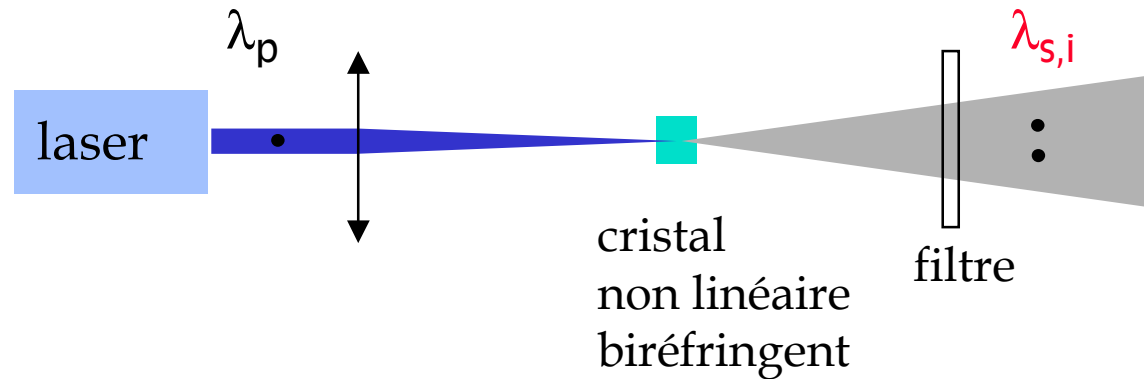
📖 Non-localité quantique

📖 Cryptographie Quantique et inégalités de Bell

📖 Applications futuristes



Source de paires de photons



👉 Fluorescence paramétrique

👉 Conservation de l'énergie et de l'impulsion

$$\omega_p = \omega_s + \omega_i \quad \vec{k}_p = \vec{k}_s + \vec{k}_i$$

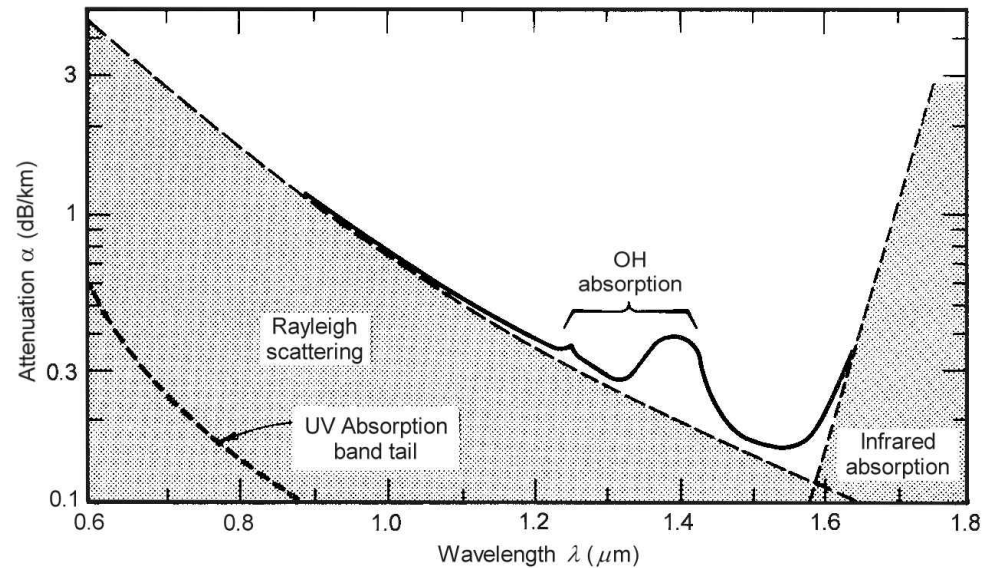
👉 L'accord de phase détermine les longueurs d'ondes et directions de propagations



Longueurs d'ondes Télécom

Atténuation

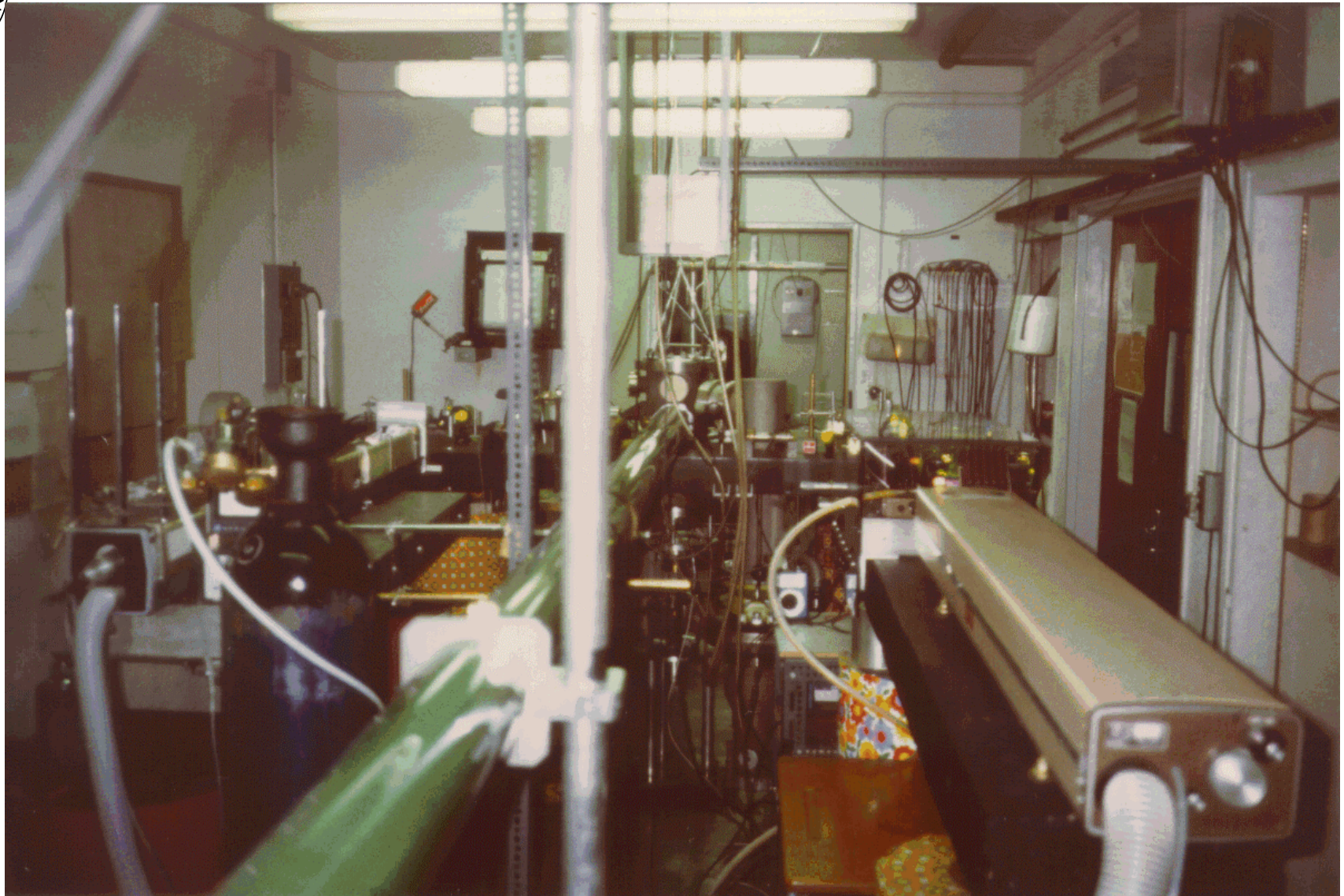
λ [μm]	α [dB/km]	$T_{10\text{km}}$
0.8	2	1%
1.3	0.35	44%
1.55	0.2	63%



Dispersion chromatique

Composants disponibles

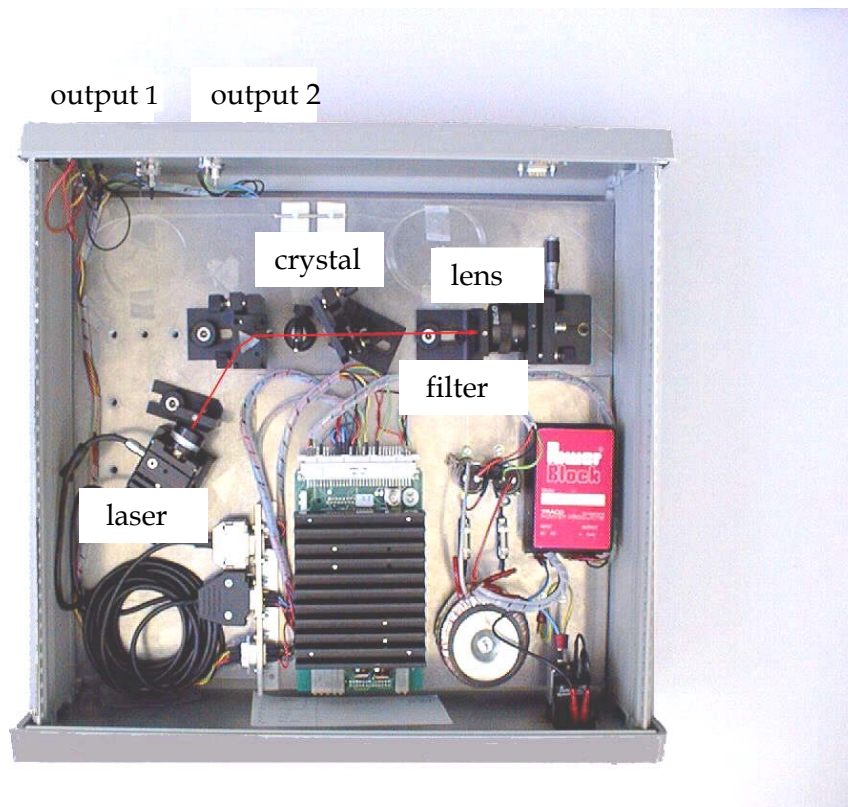
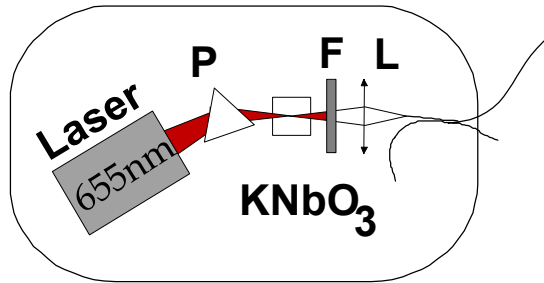
2- ν source of Aspect's 1982 experiment



GAP Optique
Geneva University



Source de paires de photons (1997)



☞ Intrication énergie-temps

◆ $\lambda_p = 655 \text{ nm}; \bar{\lambda}_{s,i} = 1310 \text{ nm}$

☞ diode laser

☞ simple, petit, pratique

$40 \times 45 \times 15 \text{ cm}^3$

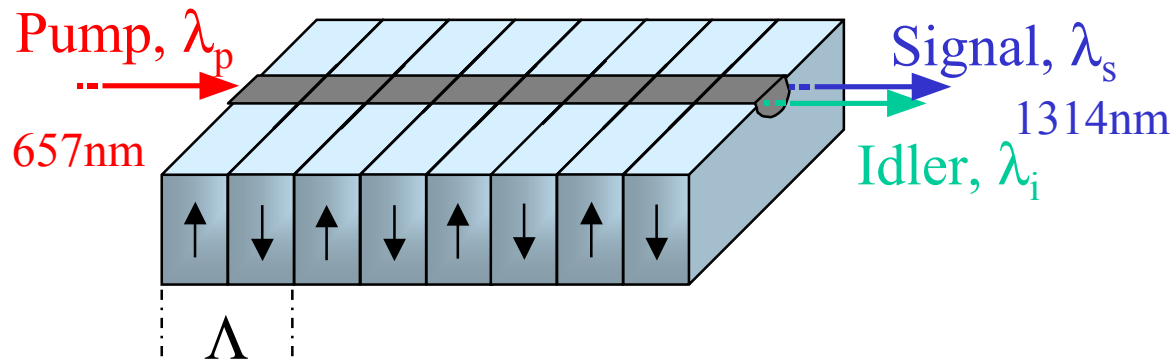
☞ $I_{\text{pump}} = 8 \text{ mW}$

☞ avec guide dans LiNbO_3
avec quasi accord phase,

$I_{\text{pump}} \approx 8 \mu\text{W}$



PPLN waveguide



QPM parameters :

$\Lambda=12.1\mu\text{m}$

$W=4\mu\text{m}$

$T=100^\circ\text{C}$

Poling : E-field applied periodically

Periodic reversal and use of d_{33} ($= 7*d_{31}$) \rightarrow QPM

Waveguide made by **Soft Proton Exchange (SPE)**

LiNbO_3 + acid bath $\rightarrow \Delta n > 0$ trough the mask

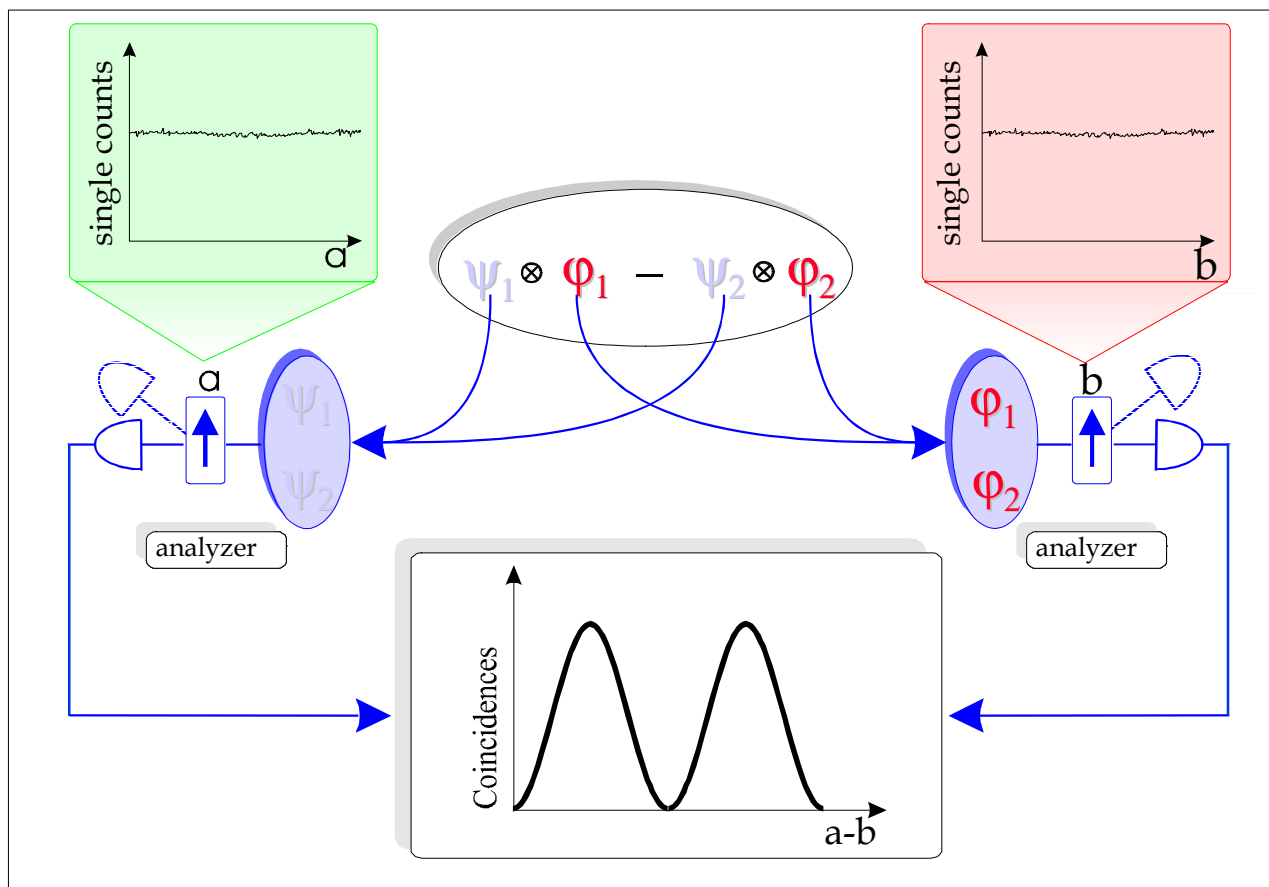
$\Delta n \approx 0.03$

$\alpha \approx 0.5 \text{ dB/cm}$

Probabilité $\approx 10^{-6}$



Non localité Quantique



👉 La statistique des corrélations n'est pas describable à l'aide de

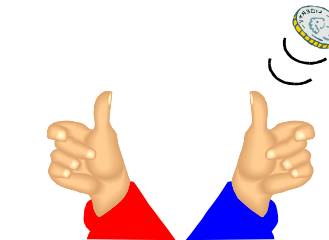
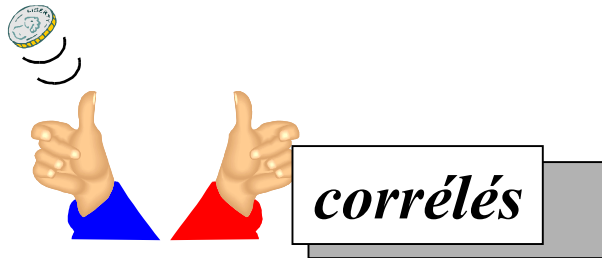
GAP Optique variables locales
Geneva University



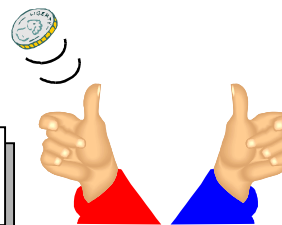
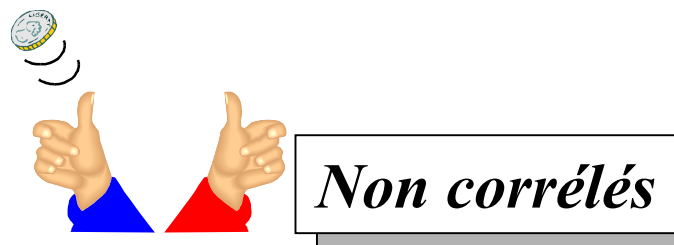
non localité quantique



Jeu de pile ou face à distance



*De chaque côté
les résultats
apparaissent
aléatoires*



La statistique des corrélations n'est pas descriptible à l'aide de

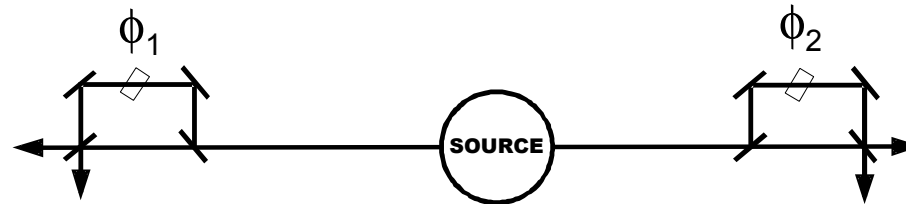
variables locales



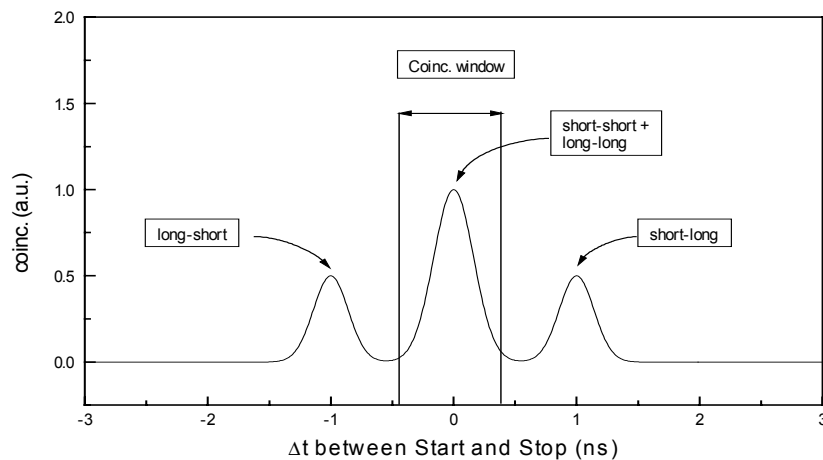
non localité quantique



Interféromètre de Franson



2 interféromètres déséquilibrés \Rightarrow pas d'interférences du 1^{er} ordre
paires de photons \Rightarrow possibilité de compter des coïncidences



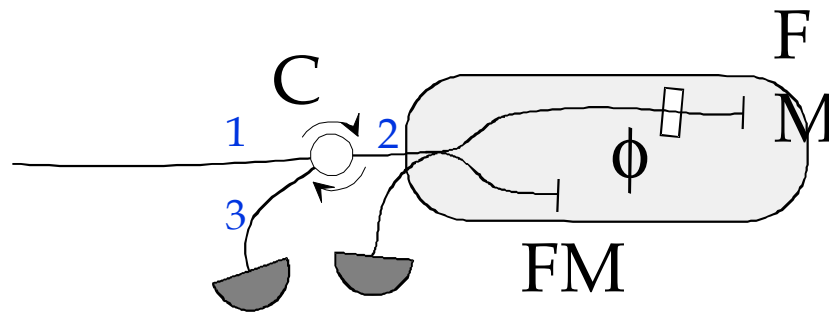
On ne peut pas distinguer entre "long-long" et "court-court"

Donc, la MQ nous dit que l'on doit additionner les amplitudes de probabilités

\Rightarrow interférences (du 2^{ème} ordre)



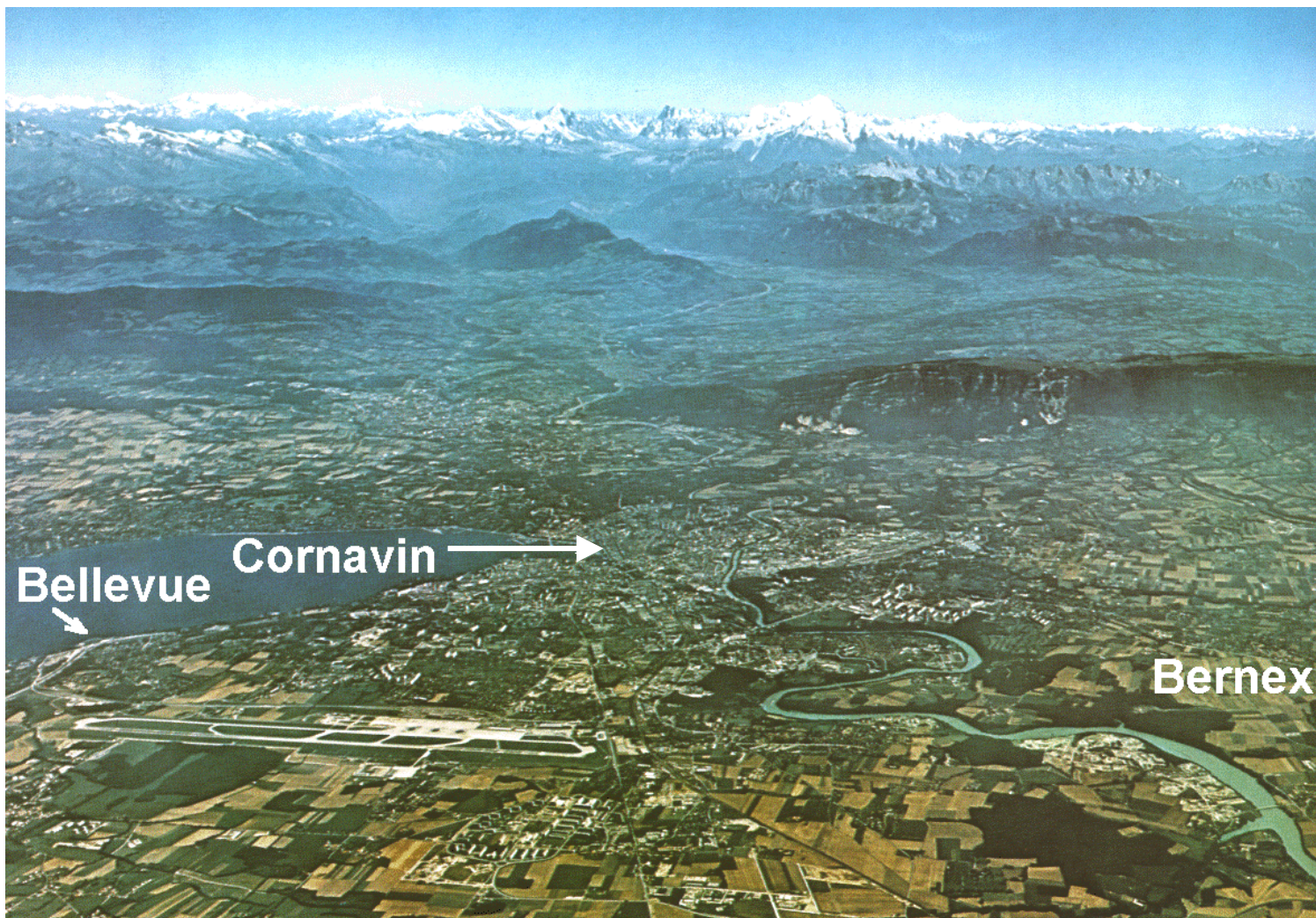
Les interféromètres



- 👉 Fibres optiques monomodes, standard telecom
- 👉 Configuration Michelson
- 👉 Circulateur C : donne accès au second port en sortie
- 👉 Miroirs de Faraday FM: compense la biréfringence
- 👉 Température ajustable pour le contrôle de la phase ϕ

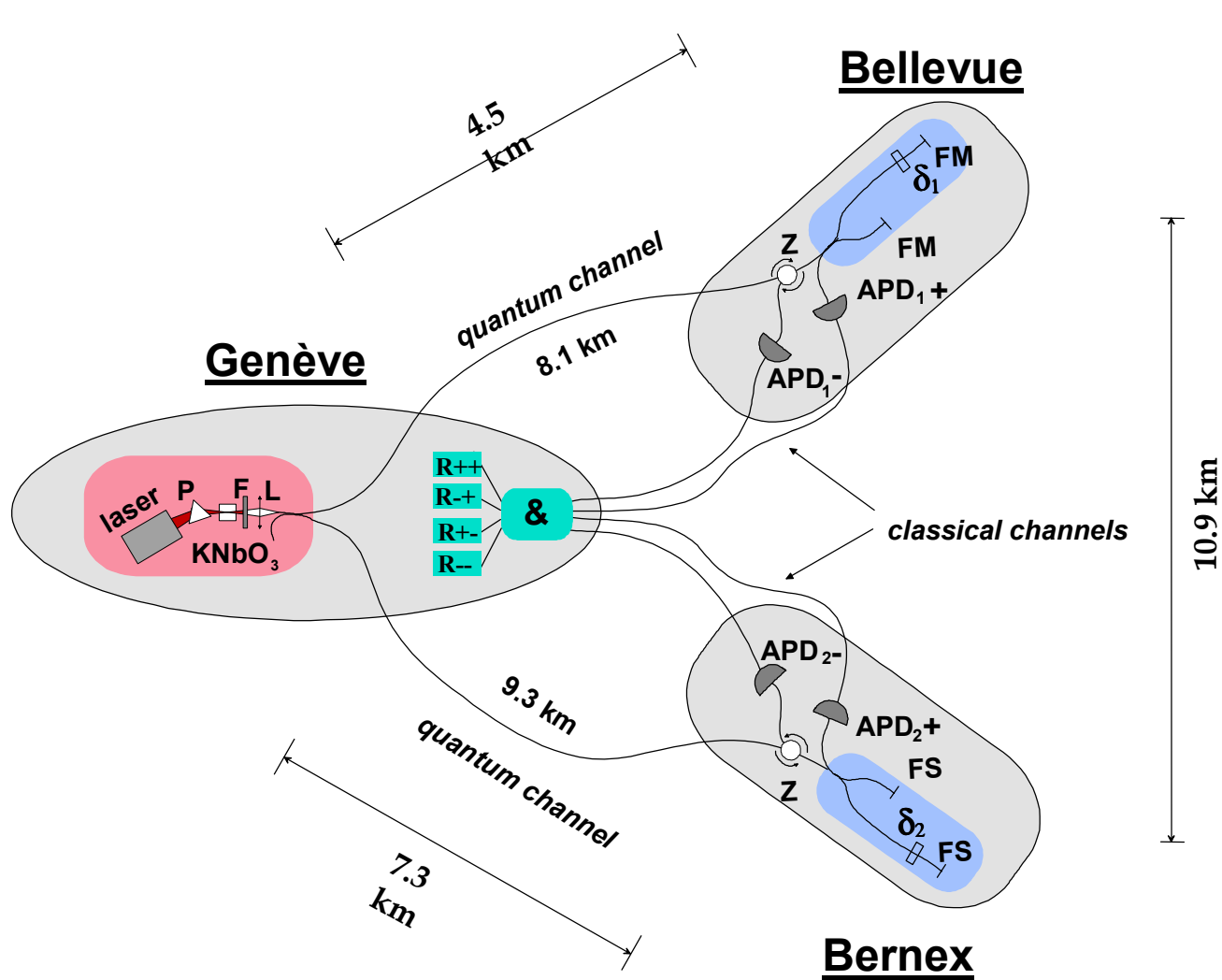


le labo



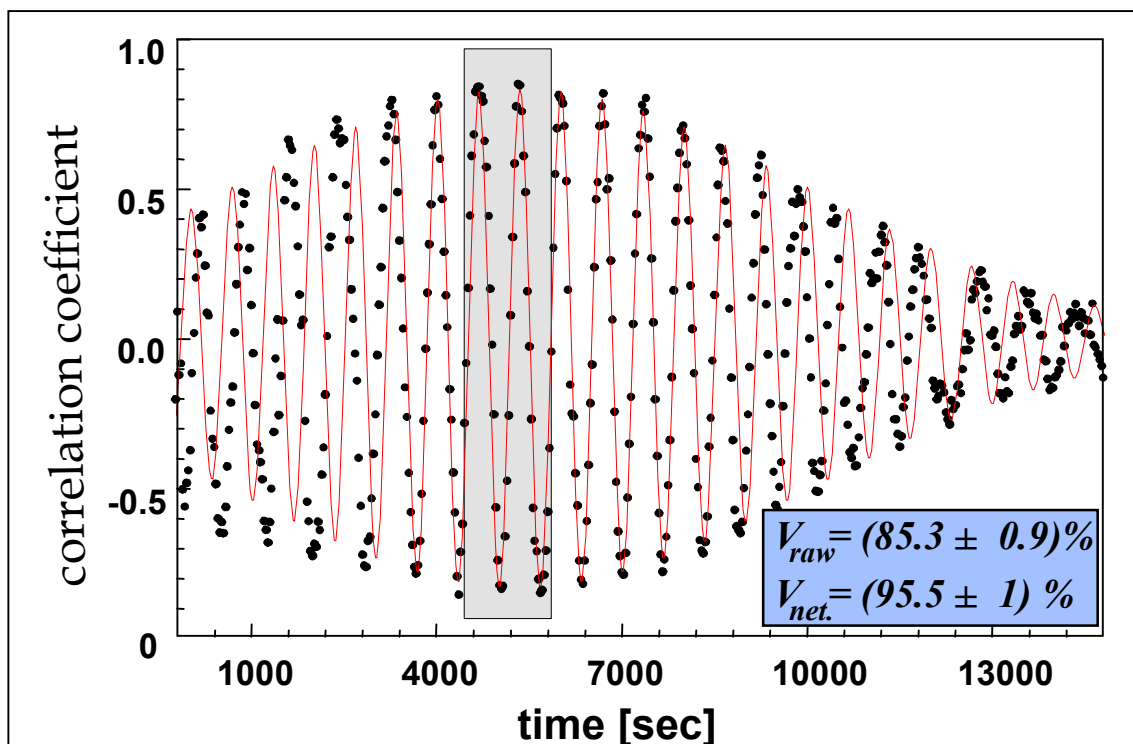


Test des inégalités de Bell sur 10 km





résultats



- 👉 15 Hz coïncidences
- 👉 $S_{raw} = 2.41$
 $S_{net} = 2.7$
- 👉 violation des inégalités de Bell par 16 (25) déviations standards
- 👉 en bon accord avec les prédictions quantiques
- 👉 mêmes résultats qu'en labo



A quoi ça sert? ... après tout, il n'y a pas de communication, seulement "jeu de hasard à distance"!

L'intrication est paradoxale*

- ☞ non-localité quantique
- ☞ ⇒ tout est intriqué avec tout
- ☞ ⇒ infinité d'univers parallèles (David Deutsch : Multivers)
- ☞ Le chat de Schrödinger est mort dans un univers et vivant dans un autre

*En principe tout est intriqué avec tout, mais en pratique la décohérence rend impossible d'observer cette intrication généralisée!

L'intrication est une ressource

- ☞ La non-localité quantique est la matière première de la technologie de l'informatique quantique*
- ☞ Les grandes agences internationales allouent des fonds substantiels à ce nouveau domaine de recherche

*l'art de tourner les paradoxes quantiques en applications potentielles!



Cryptographie Quantique

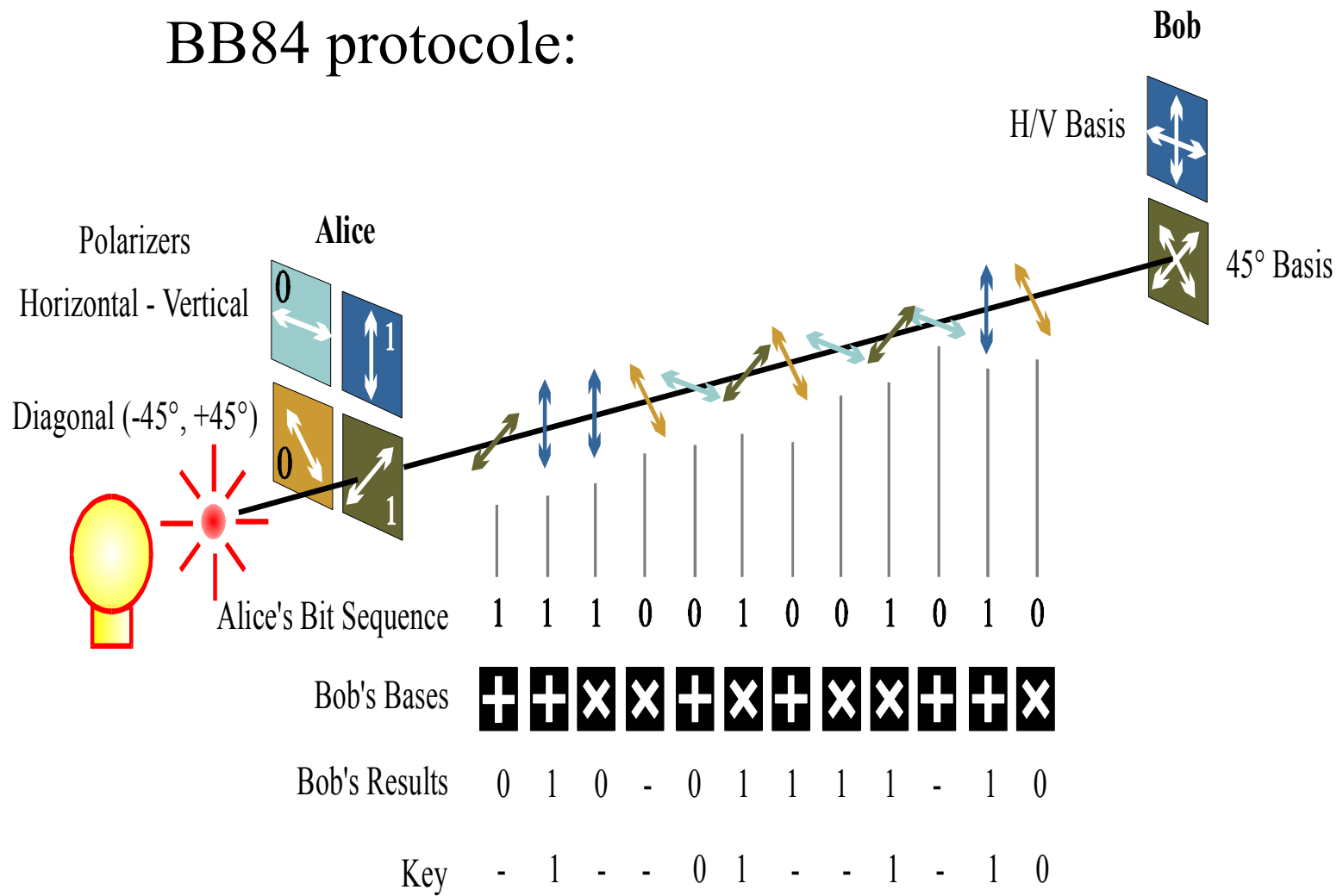
- ✎ Pour espionner un "canal de communication quantique", Eve doit effectuer des mesures sur des quanta individuels (pulses à un photon).
- ✎ Mais, la mécanique quantique nous dit: toute mesure perturbe le système quantique.
- ✎ donc, "lire" le "signal quantique" réduit la corrélation entre les données d'Alice et Bob.
- ✎ Alice et Bob peuvent donc détecter l'intervention de toute tierce personne en comparant (à l'aide d'un canal de communication classique) un échantillon de leur "signal quantique".



- 👉 Le "canal de communication quantique" n'est pas utilisé pour transmettre un message (information), seule une "clé" est transmise (pas d'information).
- 👉 S'il s'avère que la clé est corrompue, ils l'ignorent tout simplement (pas de perte d'information).
- 👉 Si la clé passe le test avec succès, Alice et Bob peuvent l'utiliser en toute confiance.
- 👉 La confidentialité de la clé est contrôlée avant que le message ne soit envoyé.
- 👉 La sécurité de la cryptographie quantique est basée sur les fondements de la physique quantique.

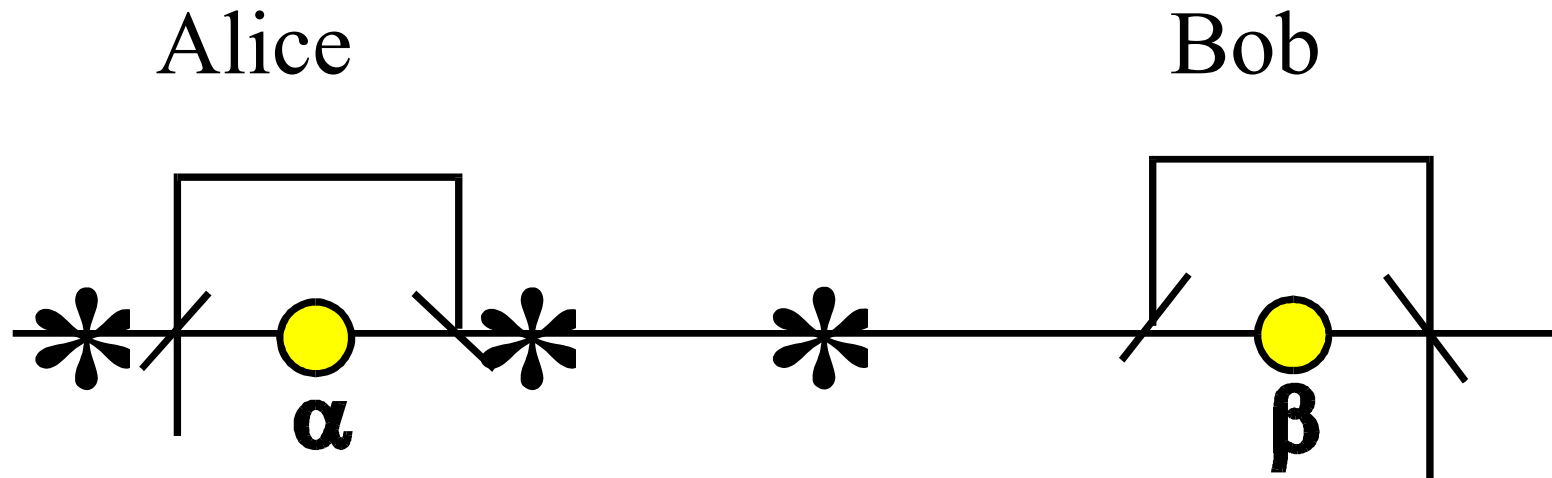


BB84 protocole:





Des tests de Bell à la cryptographie Quantique



W. Tittel et al., PRL 81, 3563-3566, 1998

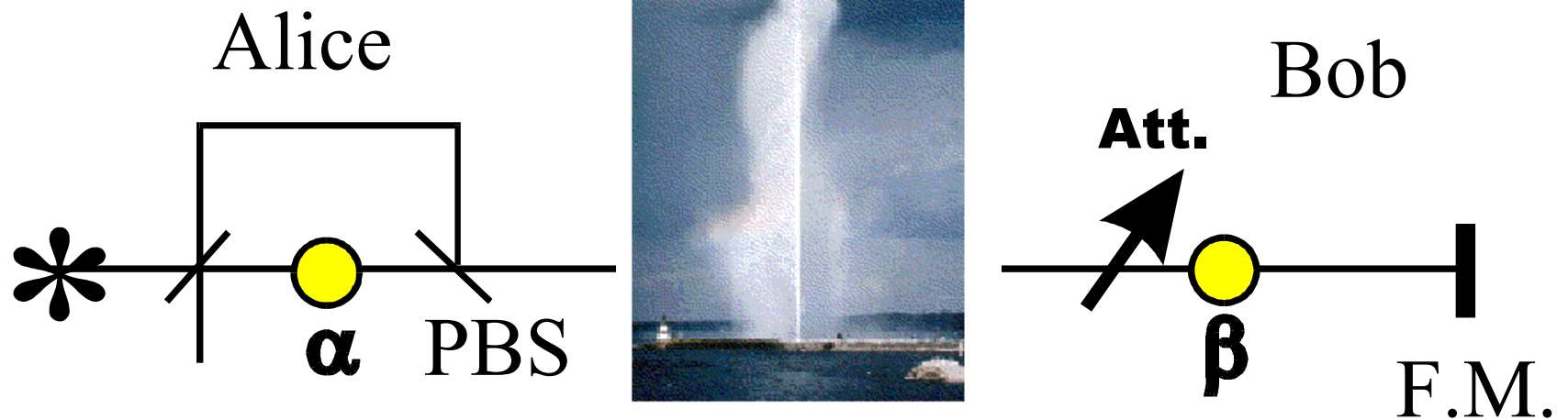
G. Ribordy et al., Phys. Rev. A 63, 012309, 2001

P.D. Townsend et al., Electr. Lett. 30, 809, 1994

R. Hughes et al., J. Modern Opt. 47, 533-547, 2000



Cryptographie Quantique sous le lac de Genève



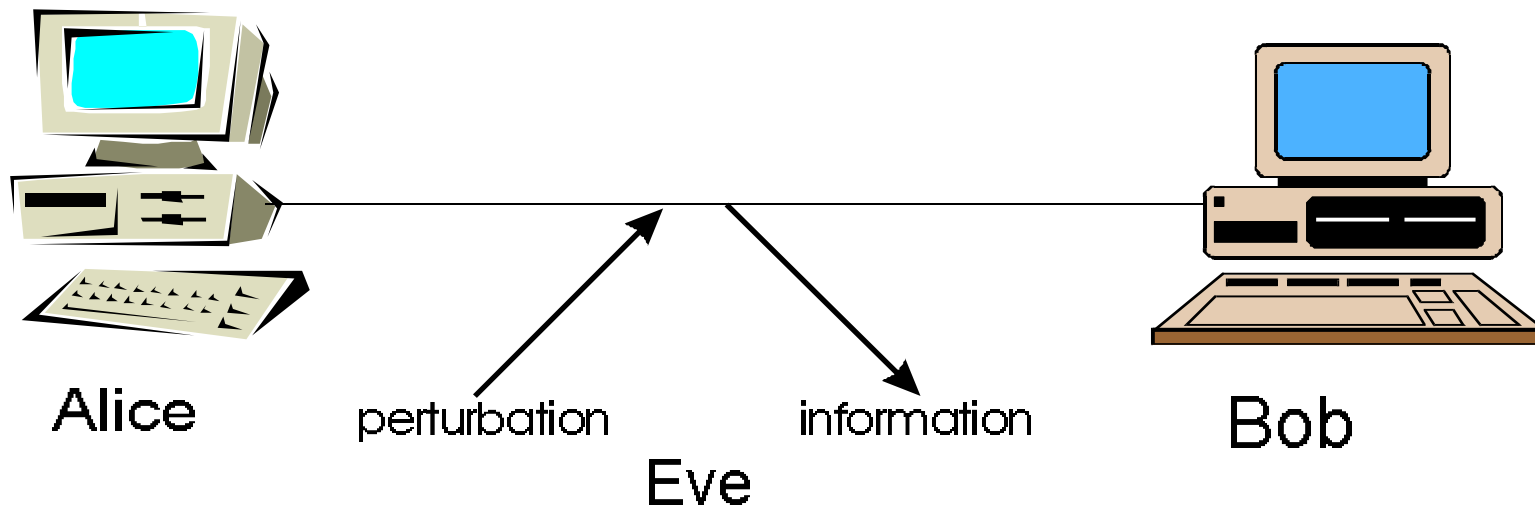
Applied Phys. Lett. 70, 793-795, 1997.

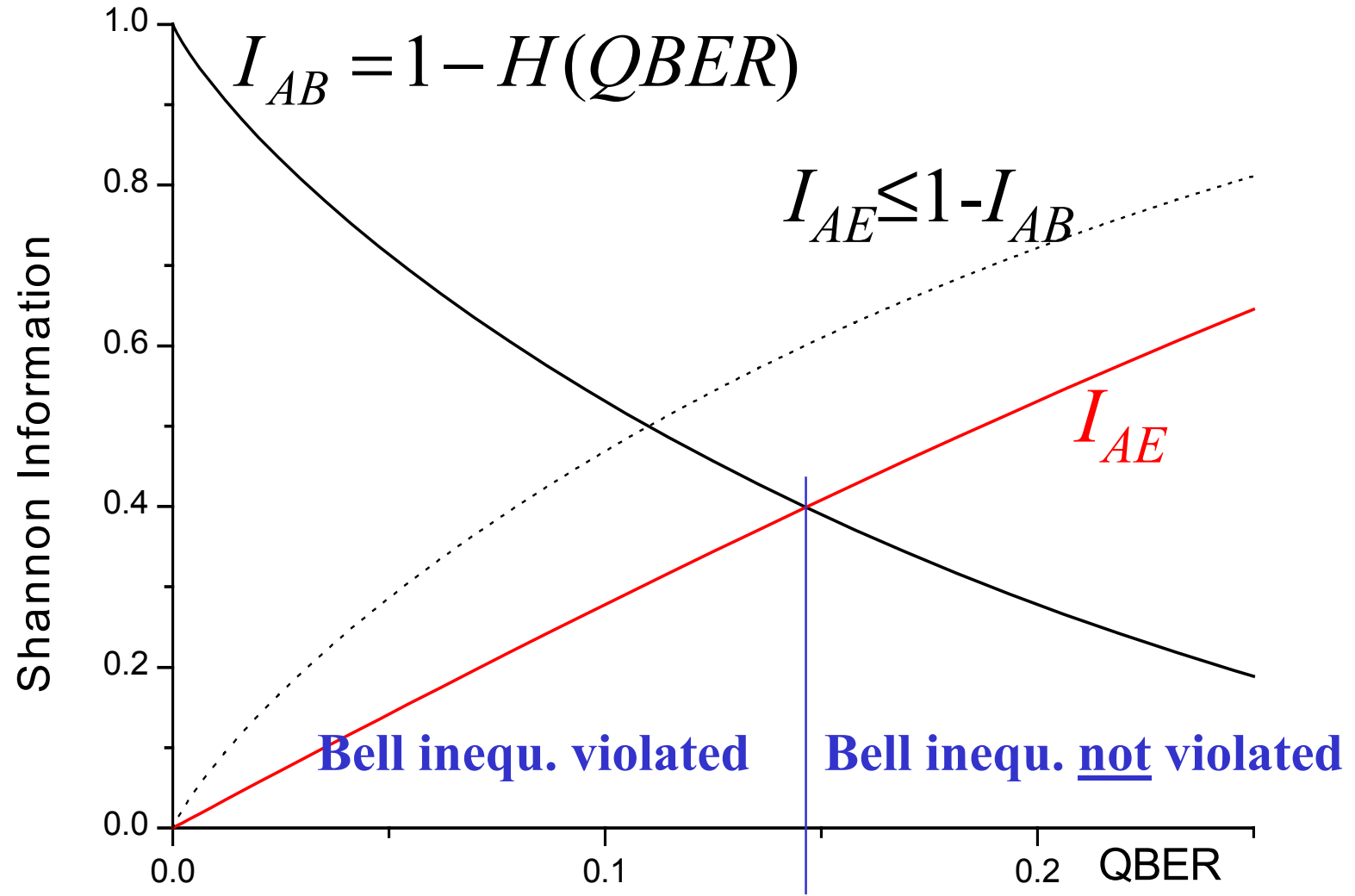
Electron. Letters 33, 586-588, 1997; 34, 2116-2117, 1998.

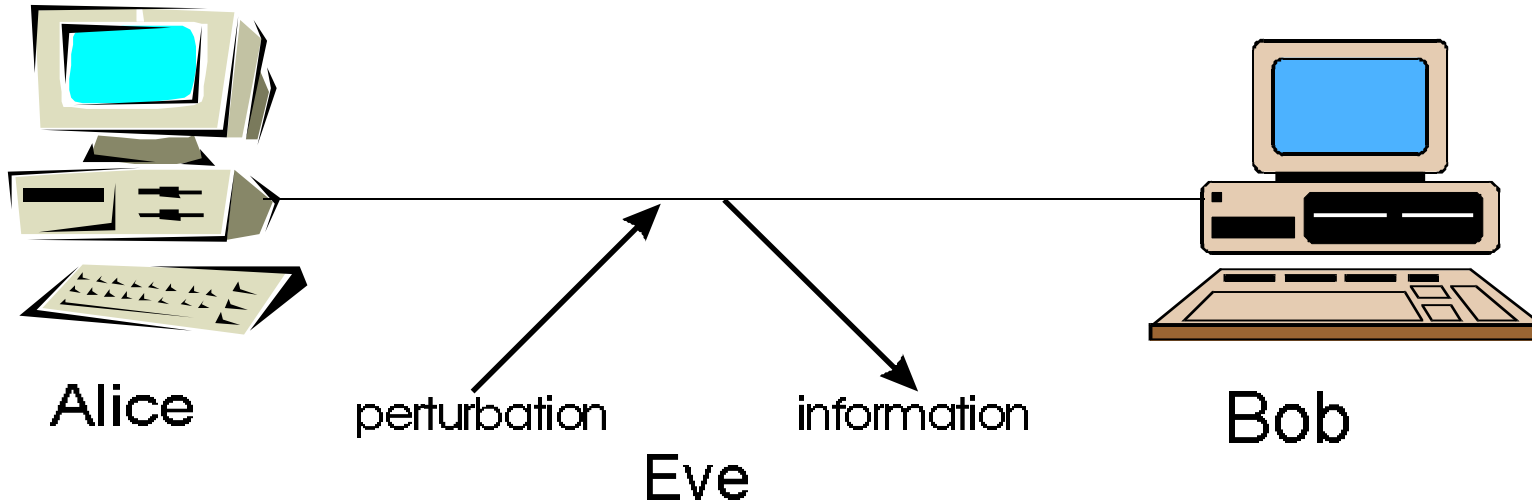
J. Modern optics 48, 2009-2021, 2001.



Cryptographie Quantique sur des lignes réelles







La cryptographie quantique garantit la confidentialité



Les inégalités de Bell sont violées



**Les corrélations quantiques ne peuvent pas être expliquées
par des variables locales**



Coppe
Versoi
Nyc

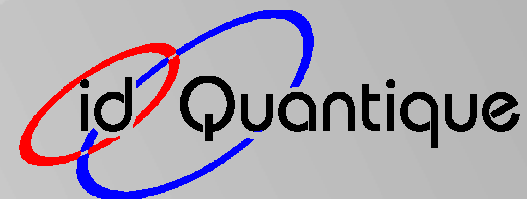
Gare de Cornav
Pont de la Coulouvreniè
St-Gervais

Hôtel des Post
Pointe à la Bi

Ile Rousseau
Grand Théâtr
Bains des Pâqu
Pont du Mont-Blan

swisscom

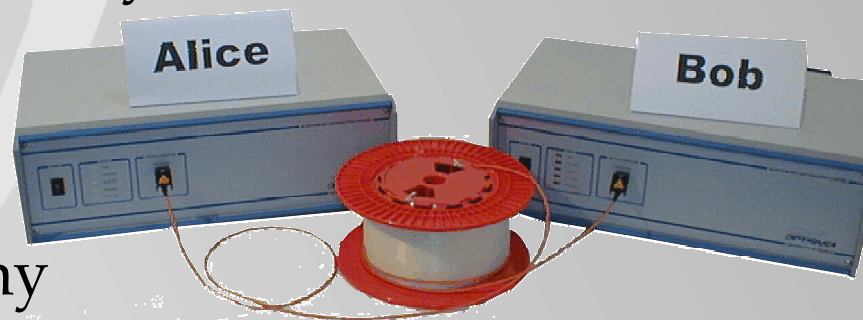
Mur des P
Genève - H
Université
Cathédrale de St-Pierre
Musée d



-  Company established in 2001
- Spin-off from the University of Geneva

 Products

- Quantum Cryptography (optical fiber system)
- Quantum Random Number Generator
- Single-photon detector module (1.3 μm and 1.55 μm)



 Contact information

email: info@idquantique.com

web: <http://www.idquantique.com>



Comment un client peut-il être certain que l'appareil qu'il achète est bien quantique?

📖 Depuis la naissance de la MQ, des physiciens se sont questionnés à propos de la réalité du monde Q.

📖 Bientôt, ce seront les clients de crypto Q qui poseront la question:

Une question métaphysique expérimentale est devenue un problème de physique appliquée !!!

📖 **Même question \Rightarrow même réponse:**

Tester si l'appareil permet de violer les inégalités de Bell! (Mayers & Yao, 1998)

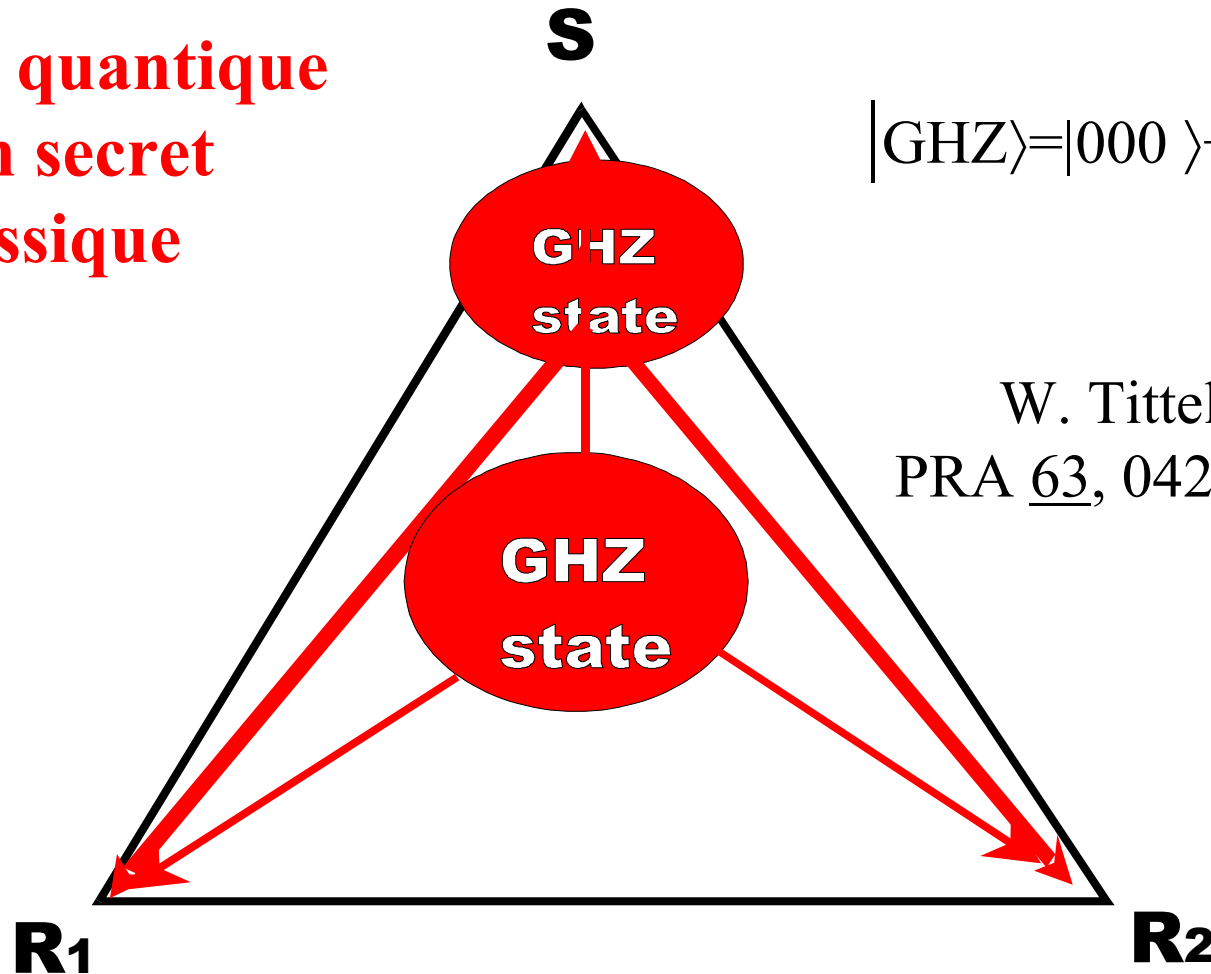
📖 **Même expérience \Rightarrow même problème:**

l'inefficacité des détecteurs requière l'hypothèse que l'échantillon détecté est représentatif ! (N&B Gisin, Phys. Lett. A 260, 323, 1999)



Réseaux Quantiques

Partage quantique
d'un secret
classique

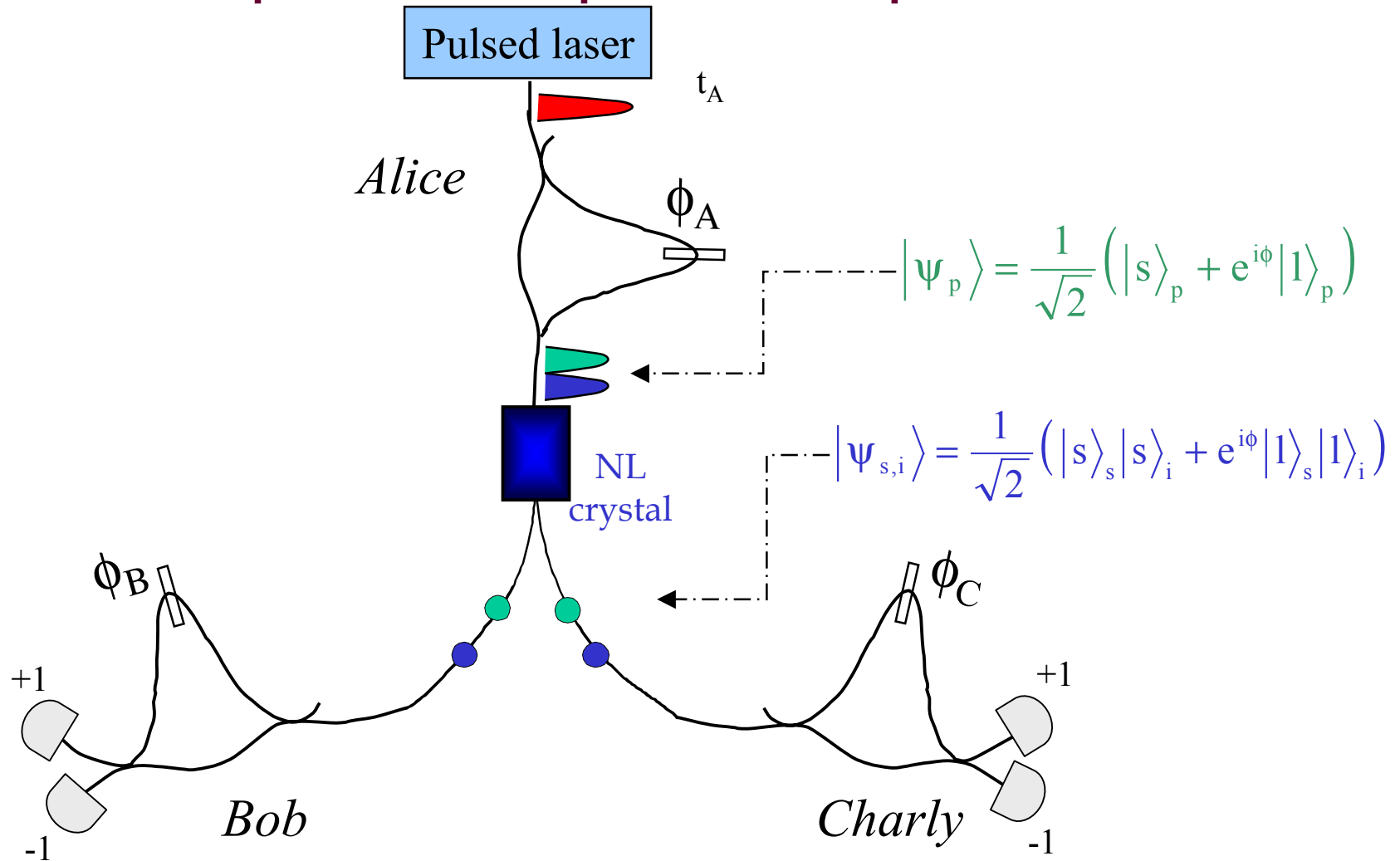


$$|\text{GHZ}\rangle = |000\rangle + |111\rangle$$

W. Tittel et al.
PRA 63, 042301, 2001

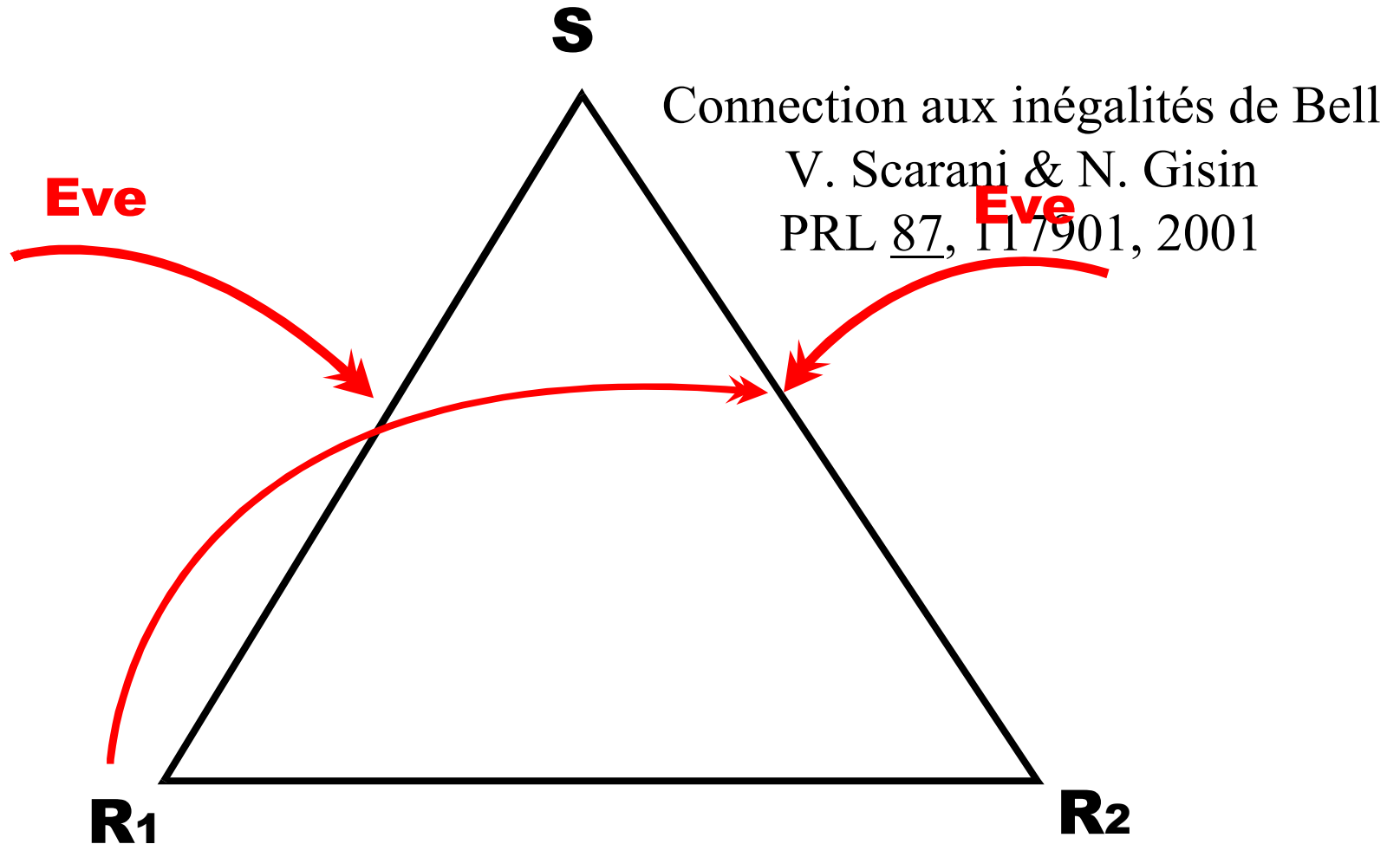


Cryptographie quantique avec une source pulsée de paires de photons





Partage quantique d'un secret: espionnage





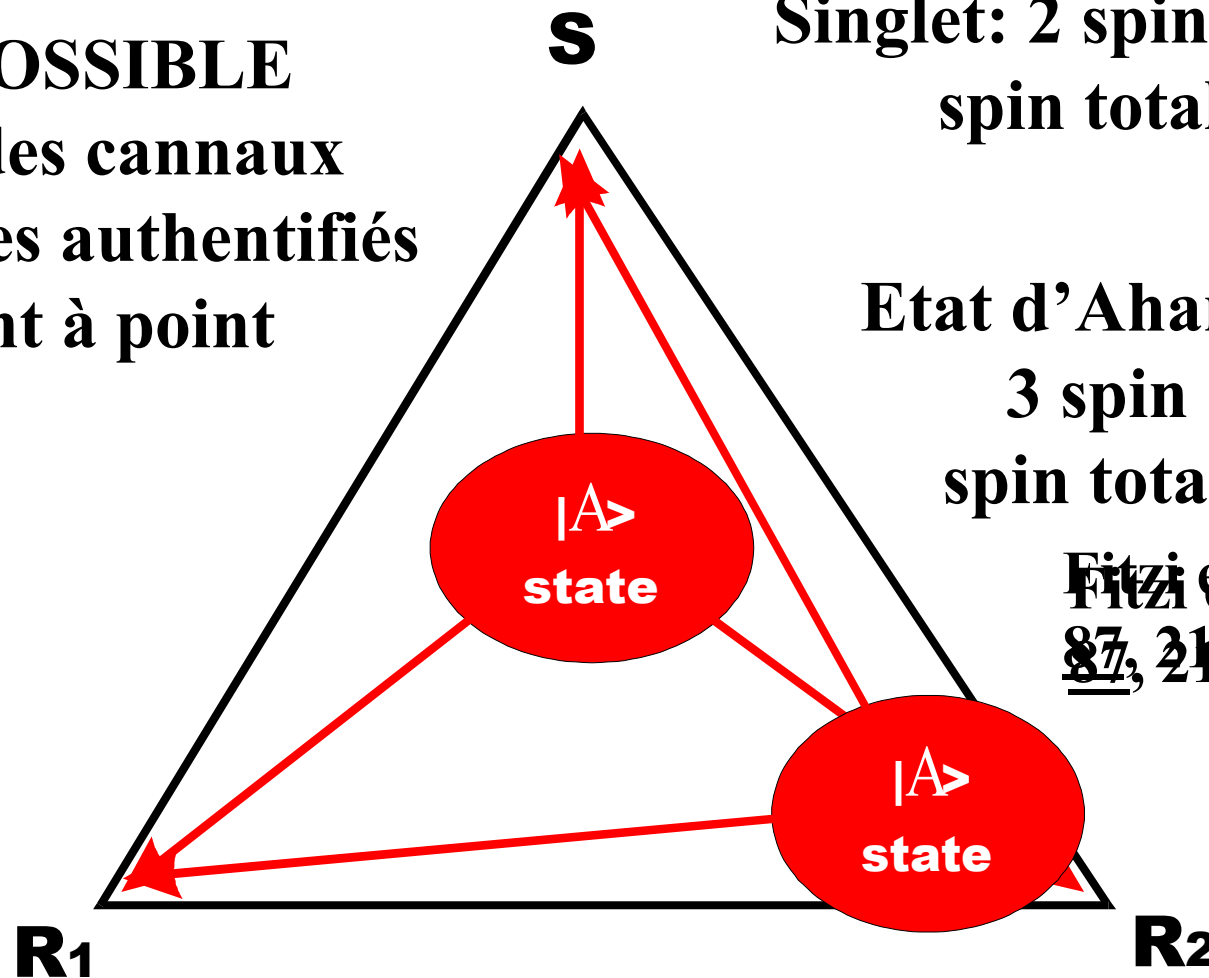
Accord Byzantin

IMPOSSIBLE
avec des canaux
classiques authentifiés
point à point

S Singlet: 2 spin $\frac{1}{2}$,
spin total = 0

Etat d'Aaronov:
3 spin 1,
spin total = 0

Fitzi et al., PRL
87, 217910, 2001





Répéteurs Quantiques

 **Pour contrer la décohérence ...**

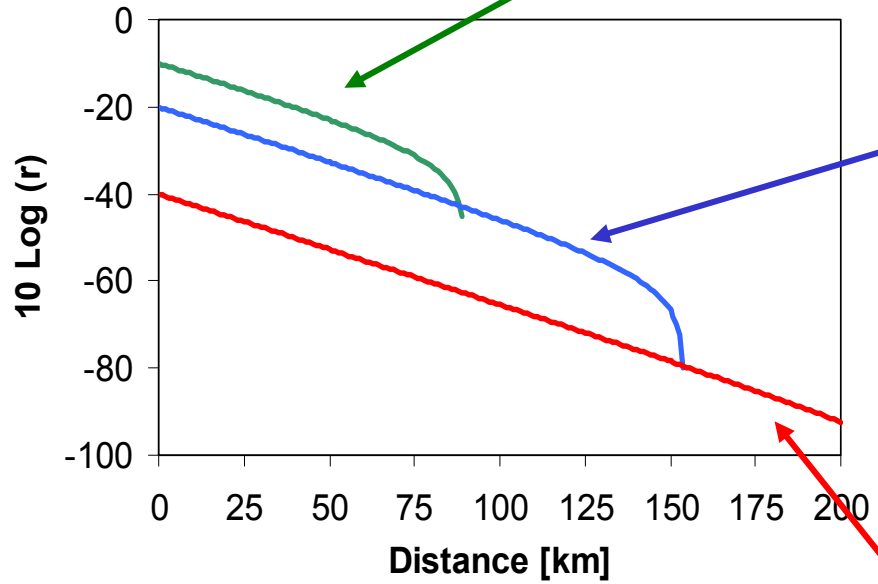
- Mais la décohérence en communication quantique n'est pas un problème!

 **Les vrais problèmes sont l'atténuation et le bruit des détecteurs:**

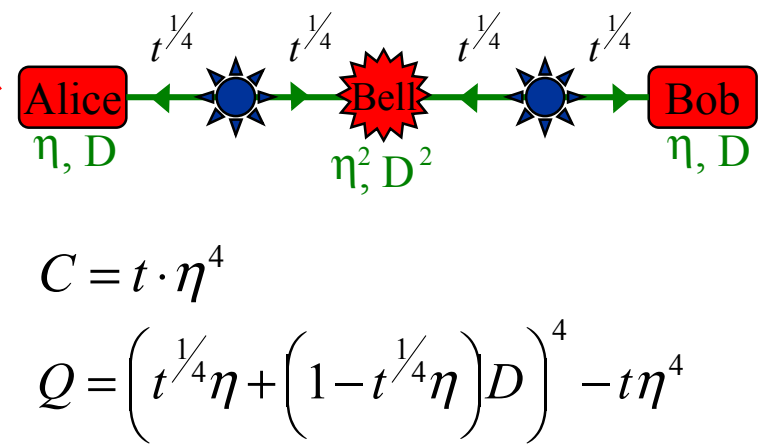
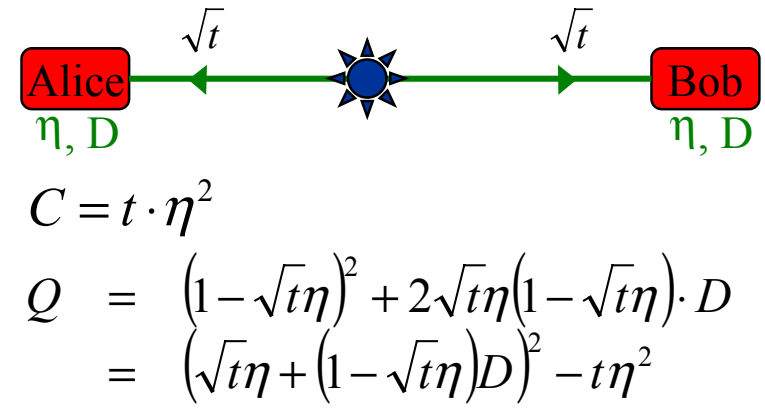
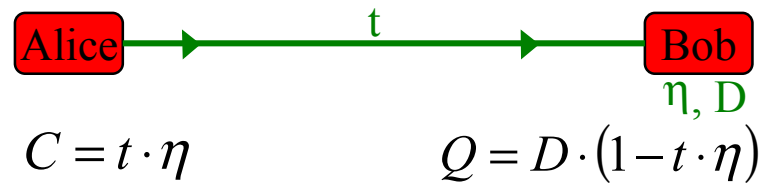
⇒ faible signal / bruit

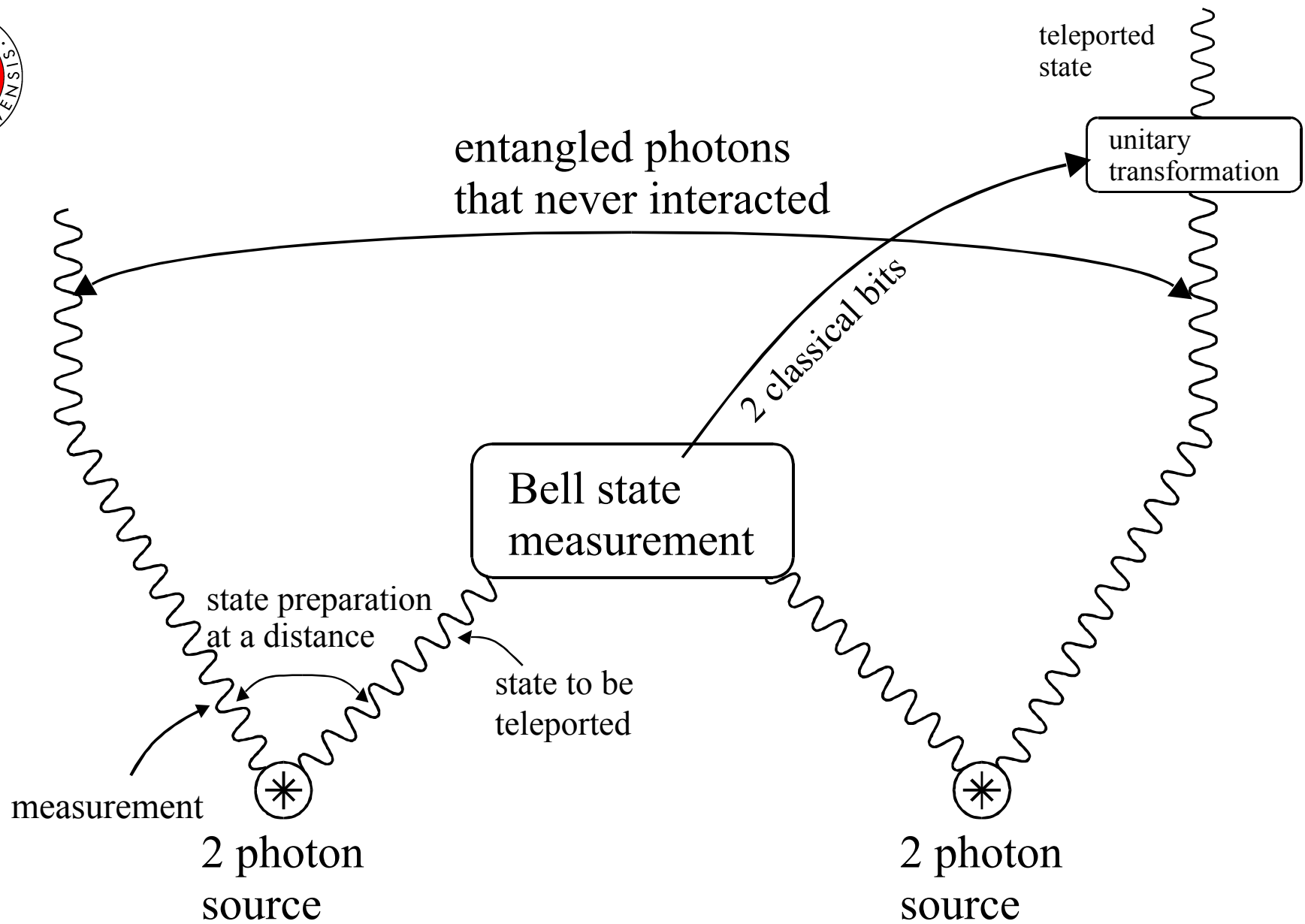
 **Problème: comment lutter contre l'atténuation?**

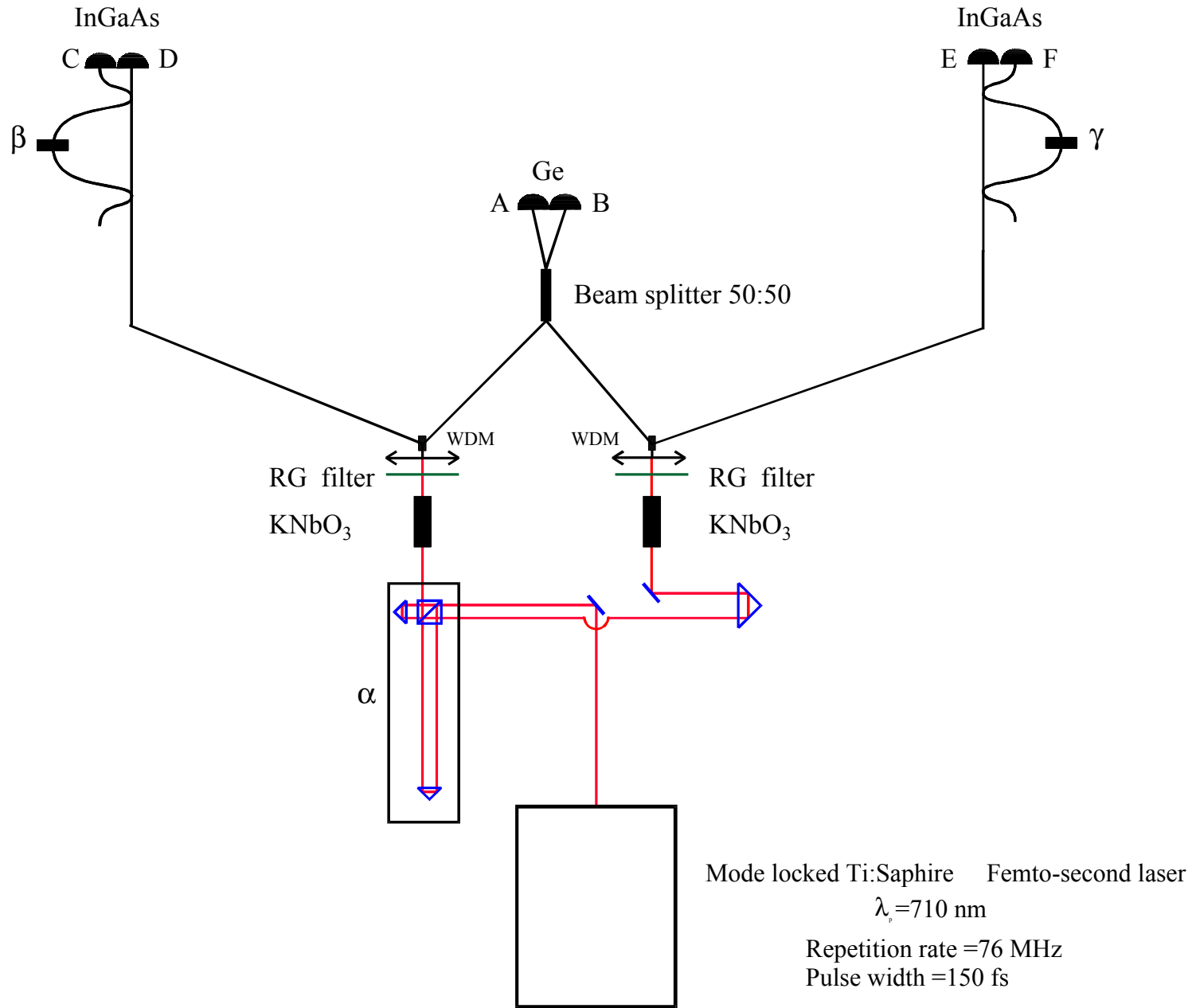
- De meilleures fibres optiques sont illusoire
- propagation à l'air libre
- ou ...



$\eta = 0.1$ det. efficiency;
 $D = 10^{-4}$ dark count;
 $\alpha = 0.25$ dB/km attenuation



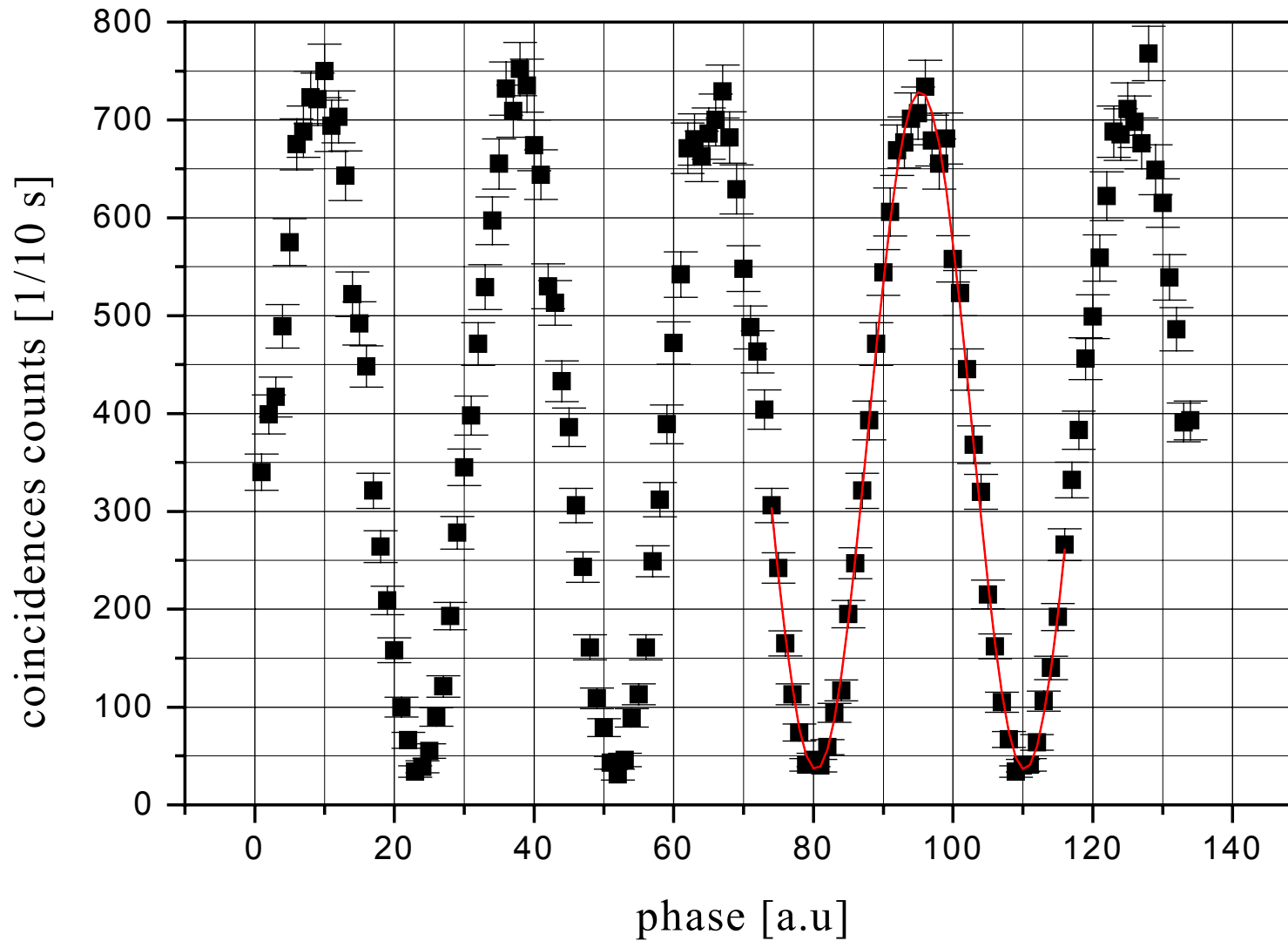






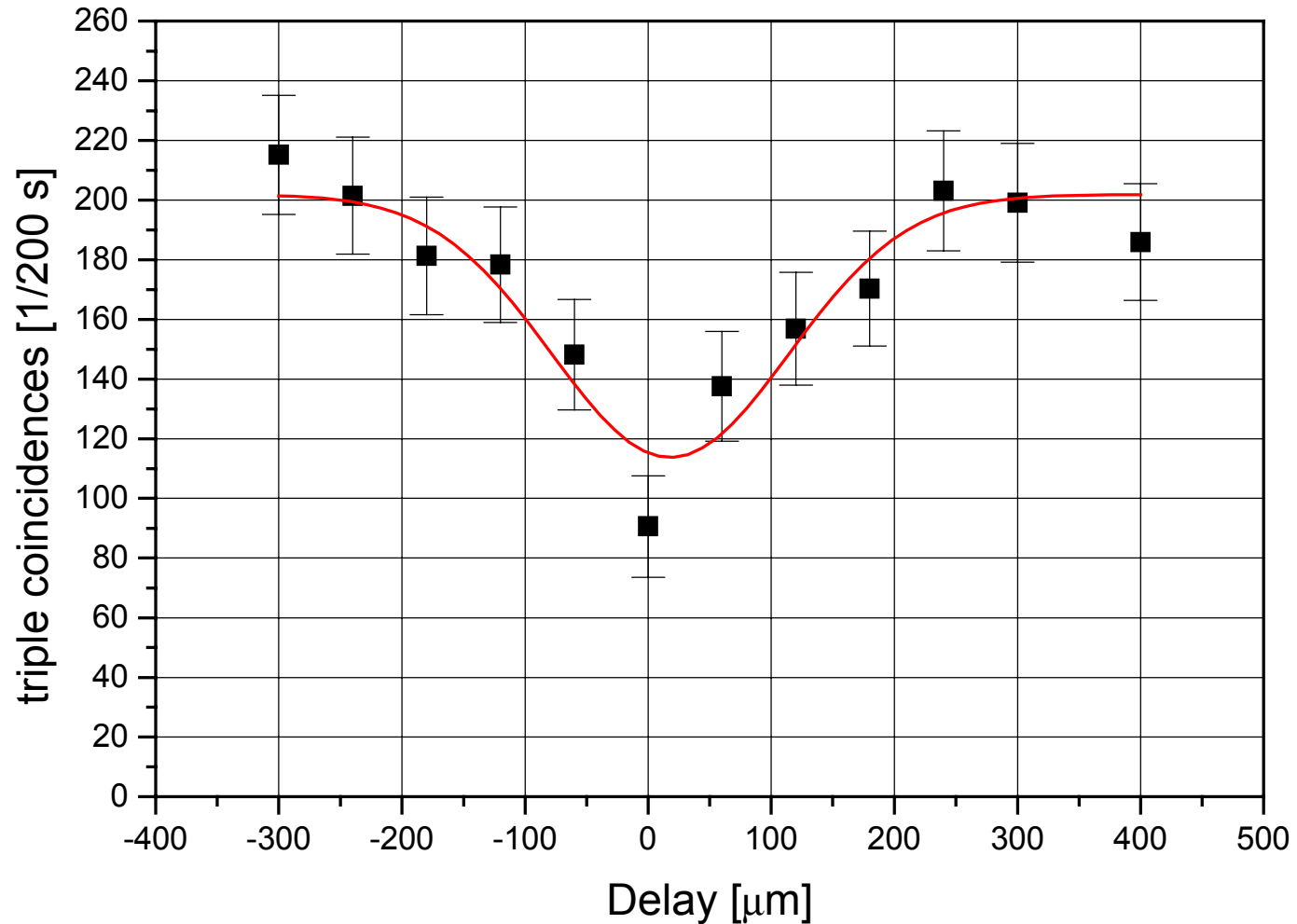
Visibility of $91 \pm 0.8 \%$

Violation of the critical visibility as given by Bell's inequalities by more than 23 standard deviations





« Mandel dip » with two spatially separated sources



GAP Optique
Geneva University

Visibility 44.7 ± 5.5 [%]
FWHM 234 ± 3.5 [μm]



Conclusions

- ✉ Créer des paires de photons-télécom n'est pas difficile.
- ✉ Les fibres optiques protègent bien les photons durant leur propagation.
- ✉ La détection reste délicate (bien qu'un premier détecteur commercial existe!).
- ✉ Des expériences de pensées et les principaux protocoles de communications quantiques peuvent être réalisés.
- ✉ La cryptographie quantique est une idée magnifique!
- ✉ Les communications quantiques relient la physique de base à l'industrie des télécom:
des corrélations quantiques aux fibres optiques,
des inégalités de Bell à la confidentialité,
des relations d'incertitudes à l'information de Shannon.

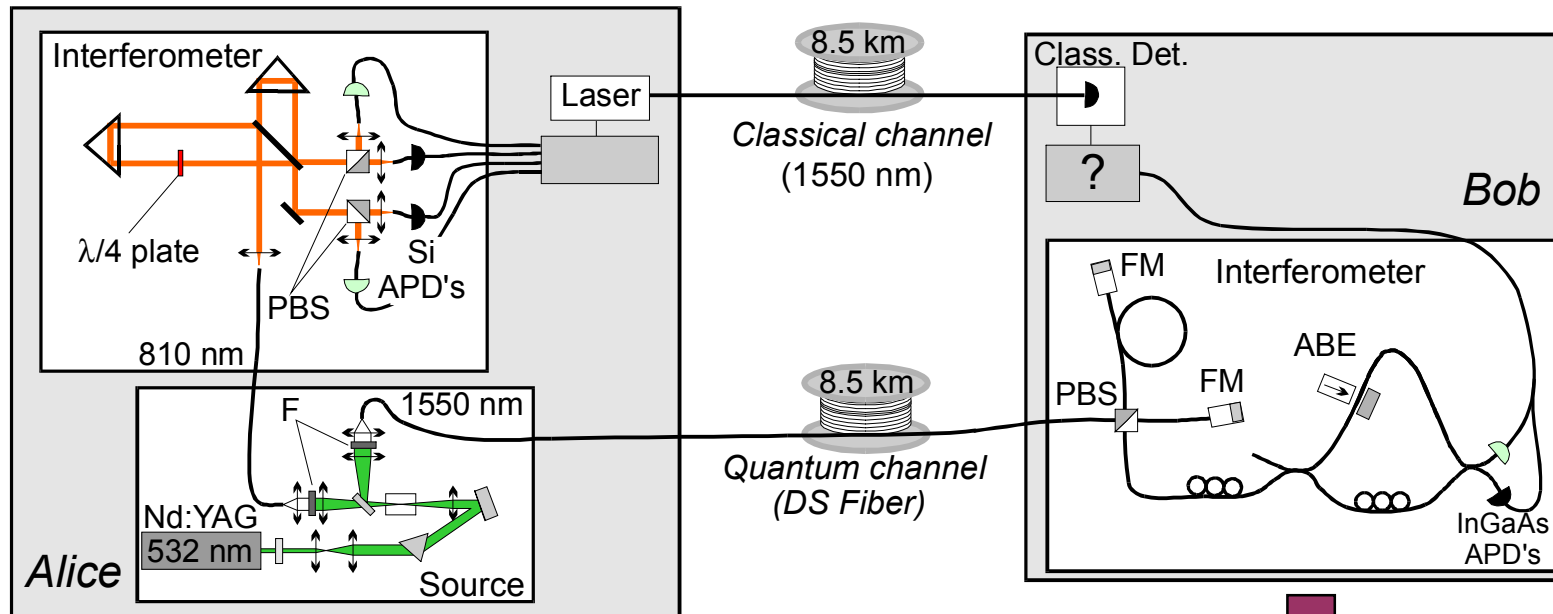


Références

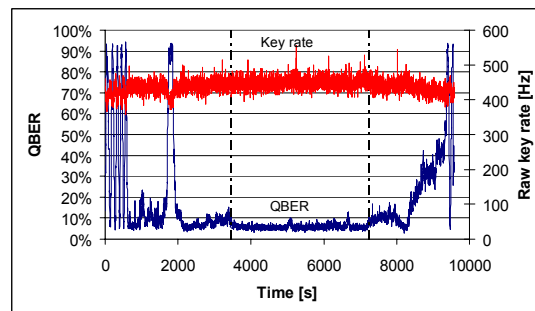
- Quantum Cryptography
 - N. Gisin, G. Ribordy, H. Zbinden, and W. Tittel, "Quantum Cryptography", e-print: <http://xxx.lanl.gov/abs/quant-ph/0101098>, to appear in Rev. Mod. Phys.
- Single-photon detection with InGaAs/InP APD's
 - P. A. Hiskett *et al.* "Performance and Design of InGaAs/InP Photodiodes for Single-Photon Counting at 1.55 μm ", Appl. Opt. **39**, 6818 - 6829 (2000)
 - D. Stucki *et al.*, "Photon counting for quantum key distribution with Peltier cooled InGaAs/InP APD's", e-print: <http://xxx.lanl.gov/abs/quant-ph/0106007>,
- 2-photon Quantum cryptography
 - G. Ribordy *et al.*, Long distance entanglement based quantum key distributions using energy-time entangled photons, Phys. Rev. A 63, 012309, 2001



2- ν QC with the source at Alice side



Key Exchange

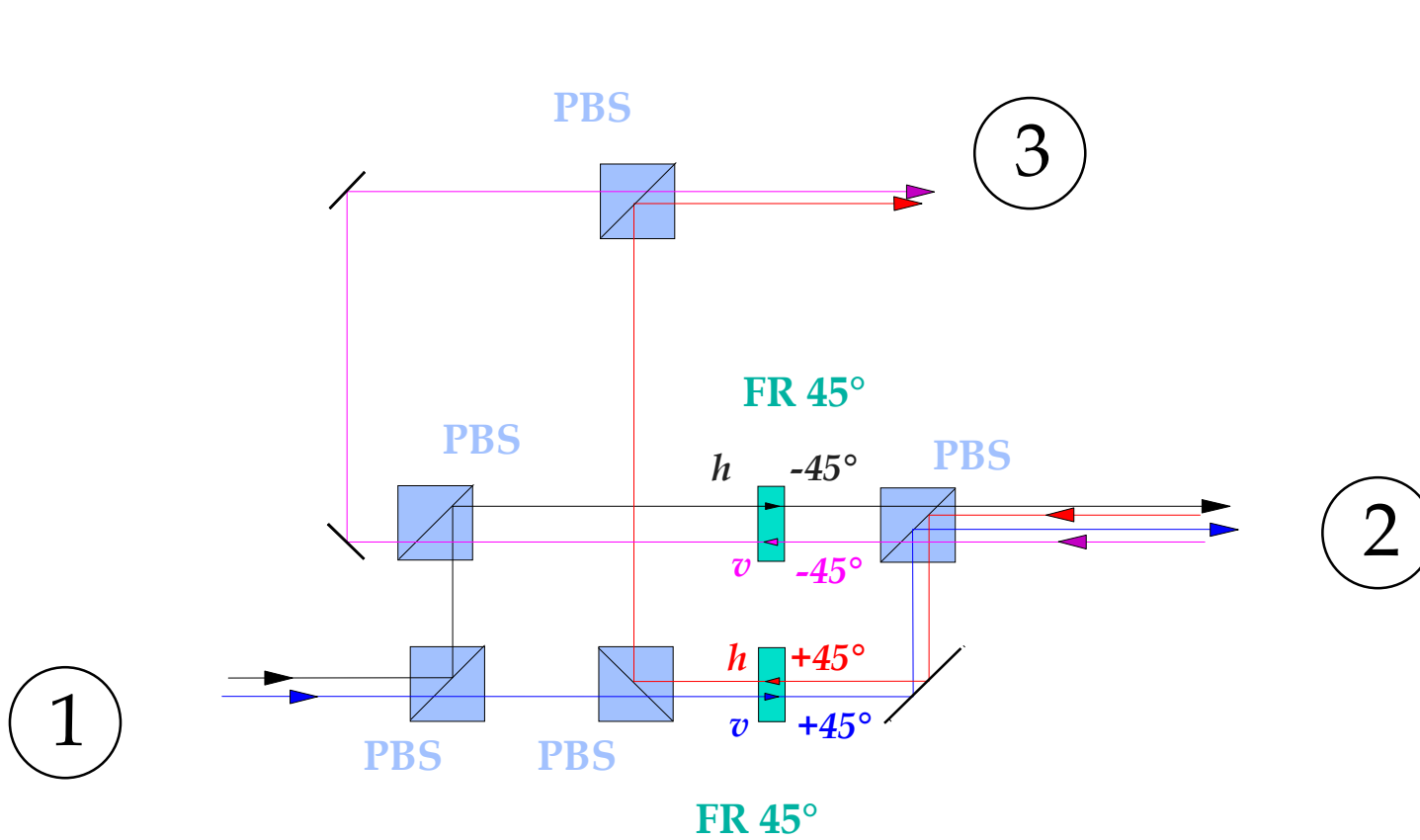


20 m: 1.7 Mbits @ 178 bits/s

8500 m: 0.4 Mbits @ 32 bits/s

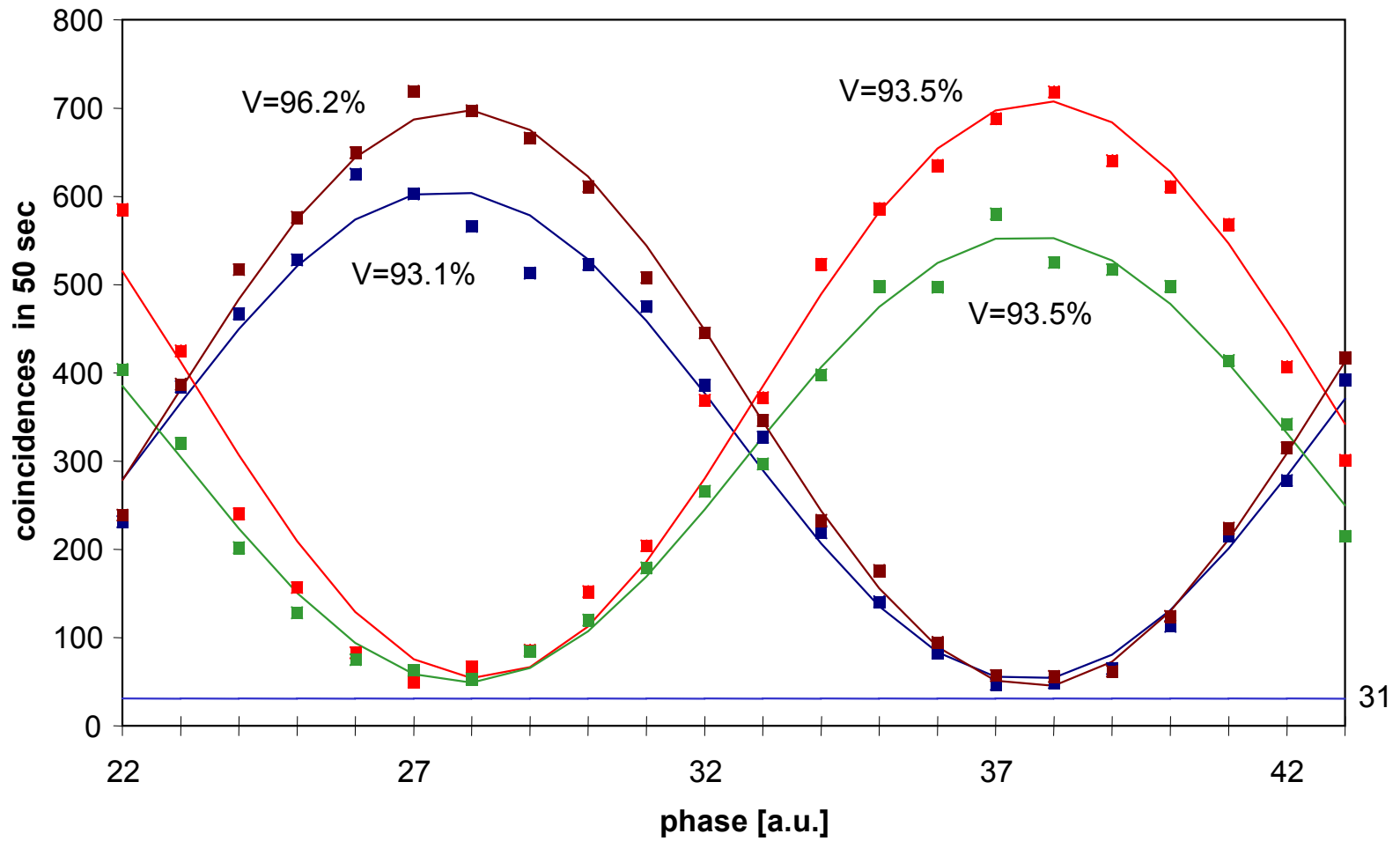


circulateur



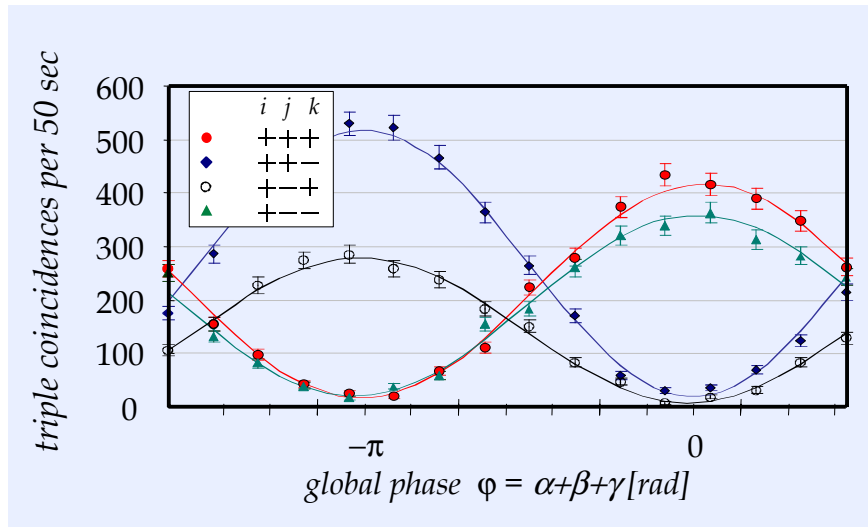


Taux de coïncidences



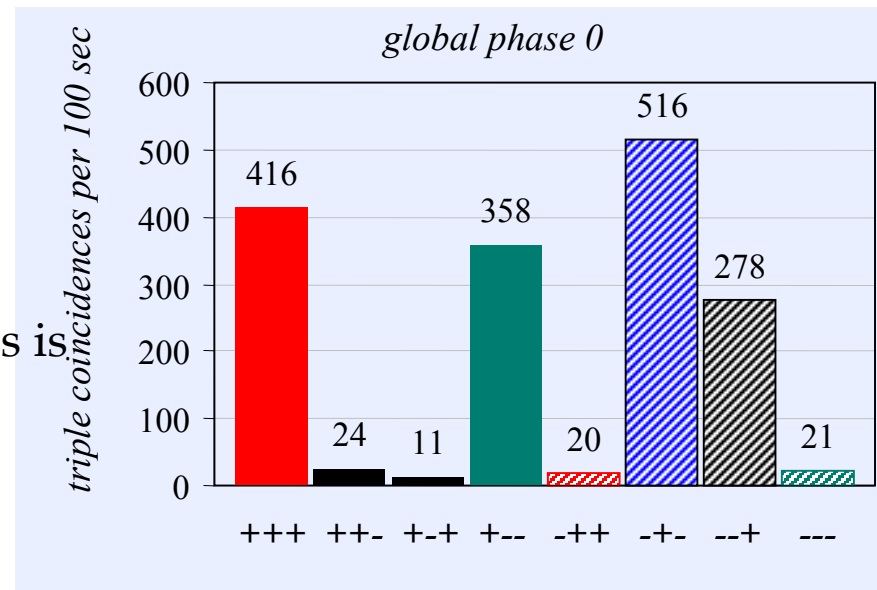


quantum secret sharing : results



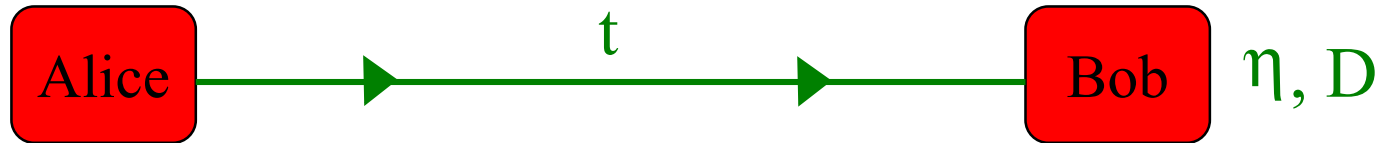
- visibility : 89.3 - 94.5 %
- $\alpha + \beta + \gamma = 0$ ($l = +1$) $ijk = 1$
- and $jk = +1$ $i = +1$

- Bit rate ≈ 15 Hz
- QBER $\approx 4\%$
- extension to long distances is possible





Répéteurs Quantiques



t = coefficient de transmission
 η = efficacité de détection
 D = bruit du détecteur

Q = taux de bits incorrects

C = taux de bits corrects

$\Rightarrow Q + C =$ taux brut

$$QBER = \frac{Q}{Q + C}$$

Taux net = $r = (Q+C) \cdot fct(QBER) \approx (Q + C) \cdot 1 - \frac{QBER}{15\%}$

$$\Rightarrow r = C - \frac{85}{15} Q$$